

# 偏微分方程数值方法

## 双曲型方程

### 目录

1	特征线方法	1
2	双曲守恒律方程的弱解和熵解	3
2.1	弱解 . . . . .	3
2.2	粘性解 . . . . .	5
2.3	熵解 . . . . .	5
3	数值格式	7
3.1	守恒型差分格式 . . . . .	7
3.2	单调格式 . . . . .	9
3.3	TVD 格式 . . . . .	10
4	双曲型方程组	12

# 1 特征线方法

- 常系数线性对流方程

$$u_t + au_x = 0, \quad (x, t) \in \mathbb{R} \times \mathbb{R}^+$$

特征线方程:

$$\frac{dx}{dt} = a, \quad \Rightarrow \quad \frac{d}{dt}u(x(t), t) = 0.$$

特征线为平行的直线，解  $u(x, t)$  沿着特征线保持不变。

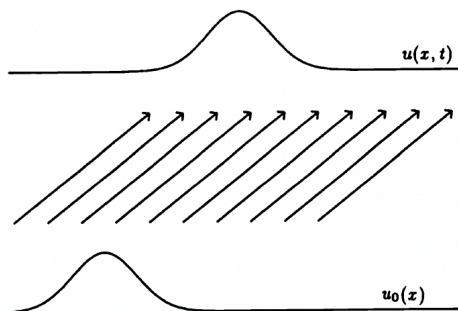


Figure 3.1. Characteristics and solution for the advection equation.

- 变系数线性对流方程 I:  $a(x, t)$  为已知的连续函数,

$$u_t + a(x, t) \cdot u_x = 0, \quad (x, t) \in \mathbb{R} \times \mathbb{R}^+$$

特征线方程:

$$\frac{dx}{dt} = a(x, t), \quad \Rightarrow \quad \frac{d}{dt}u(x(t), t) = 0.$$

特征线为互不相交的曲线，解  $u(x, t)$  沿着特征线保持不变。

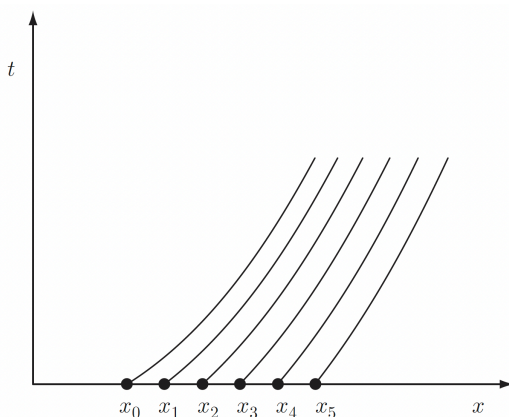


Fig. 4.1. Typical characteristics for  $u_t + a(x, t)u_x = 0$ .

- 变系数线性对流方程 II:  $a(x,t)$  为已知的连续函数,

$$u_t + (a(x,t) \cdot u)_x = 0, \quad (x,t) \in \mathbb{R} \times \mathbb{R}^+.$$

特征线方程:

$$\frac{dx}{dt} = a(x,t), \quad \Rightarrow \quad \frac{d}{dt}u(x(t),t) = -a_x \cdot u.$$

特征线为互不相交的曲线, 解  $u(x,t)$  沿着特征线不为常值, 可通过求解常微分方程得到。

- 双曲守恒律方程

$$u_t + f(u)_x = 0, \quad (x,t) \in \mathbb{R} \times \mathbb{R}^+$$

特征线方程:

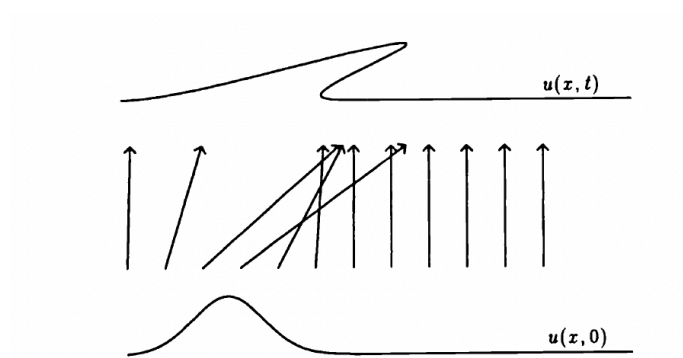
$$\frac{dx}{dt} = f'(u) = a(u), \quad \Rightarrow \quad \frac{d}{dt}u(x(t),t) = 0.$$

特征线为直线, 解  $u(x,t)$  沿着特征线保持不变。

$$u(x,t) = u_0(x - a(u(x,t)) \cdot t)$$

但是可能出现特征线相交的情形, 此时古典解不存在。

– 例: Burgers 方程  $u_t + (u^2/2)_x = 0$ ,  $f'(u) = u$ :



Homework: 考虑 Burgers 方程。假设给定光滑初值  $u_0(x)$ , 其在某些点的导数  $u'_0(x) < 0$ 。  
试证明: 在  $T_b$  时刻特征线首次产生相交

$$T_b = \frac{-1}{\min u'_0(x)}$$

此时, 方程的解产生无穷斜率, 波产生间断 (wave “breaks”)。

## 2 双曲守恒律方程的弱解和熵解

### 2.1 弱解

- **定义 1 (弱解):** 函数  $u(x, t)$  称为双曲守恒律的弱解, 若对于任意区域  $[x_L, x_R] \times [t^1, t^2] \subset \mathbb{R} \times \mathbb{R}^+$ , 均有

$$\int_{x_L}^{x_R} u(x, t_2) dx = \int_{x_L}^{x_R} u(x, t_1) dx + \int_{t^1}^{t^2} f(u(x_L, t)) dt - \int_{t^1}^{t^2} f(u(x_R, t)) dt.$$

- **定义 2 (弱解):** 函数  $u(x, t)$  称为双曲守恒律的弱解, 若对于任意函数  $\phi(x, t) \in C_0^\infty(\mathbb{R} \times \mathbb{R}^+)$ , 均有

$$\int \int_{t \geq 0} [u \phi_t + f(u) \phi_x] dx dt + \int_{t=0} u_0(x) \phi(x, 0) dx = 0.$$

- Rankine-Hugoniot (RH) **跳跃条件:** 考虑分片古典解, 并且任意时刻的间断点个数是有限的, 比如存在一条连续可微的时空界面曲线

$$\Gamma: x = x(t), \quad t \geq 0$$

将上半平面会划分为左右两块区域, 相应的古典解分别记为  $u_1(x, t)$  和  $u_2(x, t)$ :

$$u(x, t) = \begin{cases} u_1(x, t), & x < x(t), \\ u_2(x, t), & x > x(t), \end{cases}$$

若它为守恒律方程的一个弱解, 则应满足

$$s(u_+ - u_-) = f(u_+) - f(u_-) \quad (1)$$

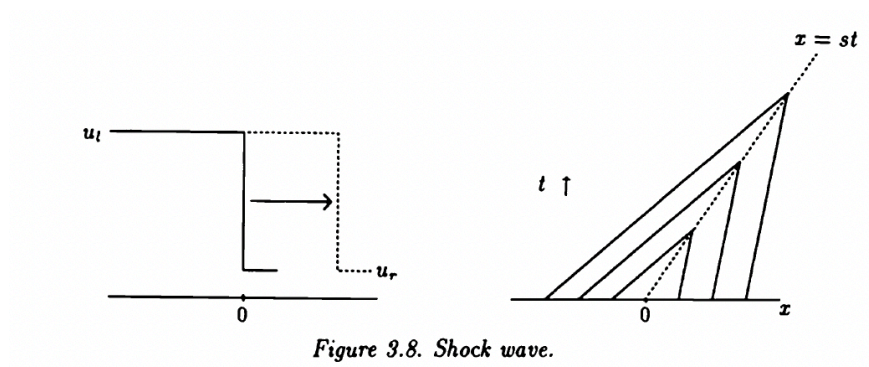
其中,  $s = x'(t)$  为界面的移动速度,  $u_\pm = \lim_{x \rightarrow x(t) \pm 0} u(x, t)$  为左右 (空间) 极限。

- **例:** Burgers 方程的 Riemann 问题:

$$u_t + (u^2/2)_x = 0, \quad u_0(x) = \begin{cases} u_L, & x < 0, \\ u_R, & x > 0, \end{cases}$$

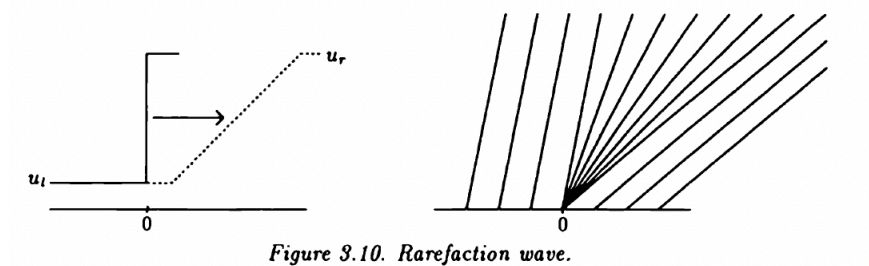
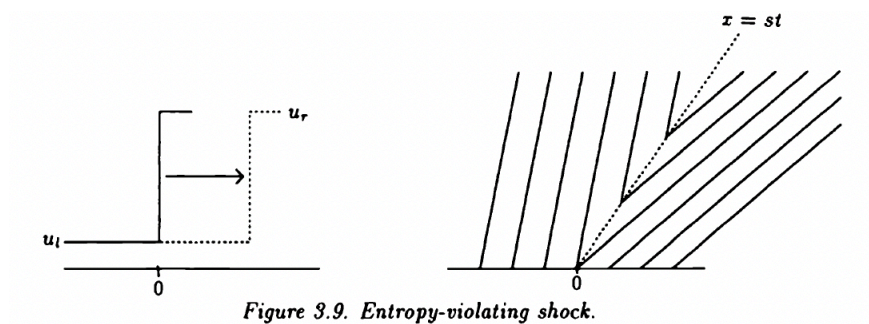
–  $u_L > u_R$ : 存在唯一弱解

$$u(x,t) = \begin{cases} u_L, & x < s \cdot t, \\ u_R, & x > s \cdot t, \end{cases} \quad s = \frac{1}{2}(u_L + u_R).$$



–  $u_L < u_R$ : 弱解不唯一! 上述间断解满足弱解条件

$$u(x,t) = \begin{cases} u_L, & x < u_L \cdot t, \\ x/t, & u_L \cdot t \leq x \leq u_R \cdot t, \\ u_R, & x > u_R \cdot t, \end{cases}$$



## 2.2 粘性解

- 设  $u^\epsilon(x, t)$  为如下问题的解

$$u_t + f(u)_x = \epsilon u_{xx}, \quad \epsilon > 0$$

若存在极限函数  $u(x, t) = \lim_{\epsilon \rightarrow 0} u^\epsilon(x, t)$ , 则  $u(x, t)$  为守恒律方程  $u_t + f(u)_x = 0$  的解。

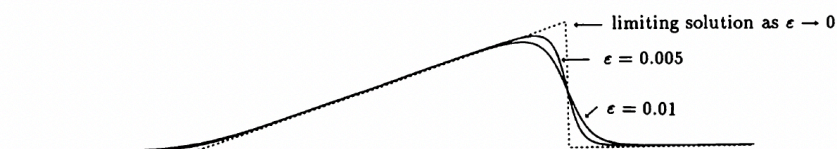


Figure 3.7. Solution to the viscous Burgers' equation for two different values of  $\epsilon$ .

## 2.3 熵解

- 标量双曲守恒律方程的熵解存在且唯一。
- Oleinik **熵条件**: 弱解满足

$$\frac{f(u_-) - f(v)}{u_- - v} \geq s \geq \frac{f(u_+) - f(v)}{u_+ - v}, \quad v \in [\min(u_-, u_+), \max(u_-, u_+)]$$

则弱解为熵解。

- Osher **熵条件**: 若函数  $f(u)$  是凸可微的, 则要求

$$f'(u_-) \geq s \geq f'(u_+)$$

- **间断的熵解**: 设函数  $f(u)$  是凸可微的, 解在  $(x_*, t^*)$  点出现间断

–  $f'(u_-) \geq f'(u_+)$ : 后面时刻的时空区域处处有特征线穿过, 则间断点  $(x_*, t^*)$  演化成间断面  $x = x(t)$ 。

- (1) 若熵条件中不等式严格成立, 则两侧的特征线均交汇到间断界面  $x = x(t)$ , 相应的局部间断结构称为**激波** (shock),  $s = x'(t)$  称为**激波速度**;
- (2) 若熵条件中不等式局部退化为恒等式, 则两侧的特征线同间断界面平行, 相应的局部间断结构称为**接触间断** (contact discontinuity);

- $f'(u_-) \leq f'(u_+)$ : 后面时刻的某个扇形（时空）区域没有特征线穿过，则间断点  $(x_*, t^*)$  将会消失，对应的熵解具有局部**稀疏波**结构。在扇形区域内，稀疏波满足自相似结构

$$u(x, t) = u\left(\frac{x - x_*}{t - t^*}\right)$$

### 3 数值格式

- **数值方法的挑战：**高精度高分辨率格式

- 激波速度的刻画以及间断界面的捕捉要准确；
- 在真解相对光滑区域，精度和计算效率要高；
- 在间断界面附近，数值振荡现象要得到控制；
- 数值解要收敛到熵解，至少是弱解。

**激波装配技术：**先用特殊算法确定间断界面的位置，在用其他高效高精度格式计算界面之间光滑解。

**激波捕捉技术：**直接建立统一的数值操作过程，可以同时适用于光滑解和间断解的数值模拟，而不用额外追踪间断界面的位置。

- **例：**Burgers 方程  $u_t + (u^2/2)_x = 0$  的 Riemann 问题  $u(x,0) = \begin{cases} 1, & x < 0, \\ 0, & x \geq 0. \end{cases}$  考虑格式

$$v_j^{n+1} = v_j^n - \frac{\Delta t}{\Delta x} v_j^n (v_j^n - v_{j-1}^n), \quad \Rightarrow \quad v_j^n = v_j^0$$

不收敛到弱解（激波传播速度不满足 RH 跳跃条件）！

#### 3.1 守恒型差分格式

- **定义（守恒型）：**称差分格式是守恒型格式，若它可以统一表述为

$$v_j^{n+1} = v_j^n - \frac{\Delta t}{\Delta x} \left( \hat{f}_{j+1/2}^n - \hat{f}_{j-1/2}^n \right), \quad \forall j \quad (2)$$

其中， $\hat{f}_{j+1/2}$  称为数值流通量，具有表达式

$$\hat{f}_{j+1/2} = \hat{f}(v_{j-r}, \dots, v_{j+s})$$

满足性质

- 连续性： $\hat{f}$  关于每个变量都满足局部 Lipschitz 连续性；
- 相容性： $\hat{f}(v, \dots, v) = f(v)$ 。

- **定理（Lax-Wendroff 定理）：**设守恒型差分格式同双曲守恒律相容。当网格尺度趋于零时，若数值解几乎处处有界且收敛到某个函数，则极限必定是问题的弱解。



- 例：Lax-Friedrichs 格式

$$v_j^{n+1} = \frac{1}{2} (v_{j+1}^n + v_{j-1}^n) - \frac{\Delta t}{2\Delta x} [f(v_{j+1}^n) - f(v_{j-1}^n)].$$

- 例：Lax-Wendroff 格式

$$\begin{aligned} v_j^{n+1} = & v_j^n - \frac{\Delta t}{2\Delta x} [f(v_{j+1}^n) - f(v_{j-1}^n)] \\ & + \frac{\Delta t^2}{2\Delta x^2} \left\{ A_{j+1/2}^n [f(v_{j+1}^n) - f(v_j^n)] - A_{j-1/2}^n [f(v_j^n) - f(v_{j-1}^n)] \right\}, \end{aligned}$$

其中,  $A_{j+1/2}^n = f' \left( \frac{1}{2}(u_j^n + u_{j+1}^n) \right)$ 。

- 例：Richtmyer 格式

$$\begin{aligned} v_{j+1/2}^{n+1/2} = & \frac{1}{2} (v_j^n + v_{j+1}^n) - \frac{\Delta t}{2\Delta x} [f(v_{j+1}^n) - f(v_{j-1}^n)] \\ v_j^{n+1} = & v_j^n - \frac{\Delta t}{\Delta x} [f(v_{j+1/2}^{n+1/2}) - f(v_{j-1/2}^{n+1/2})] \end{aligned}$$

- 例：MacCormack 格式

$$\begin{aligned} \tilde{v}_j^n = & v_j^n - \frac{\Delta t}{\Delta x} [f(v_{j+1}^n) - f(v_j^n)] \\ v_j^{n+1} = & \frac{1}{2} (v_j^n + \tilde{v}_j^n) - \frac{\Delta t}{2\Delta x} [f(\tilde{v}_j^n) - f(\tilde{v}_{j-1}^n)] \end{aligned}$$

- 例：Roe 型迎风格式

$$v_j^{n+1} = v_j^n - \frac{\Delta t}{2\Delta x} \left\{ \left[ 1 - \text{sgn}(a_{j+1/2}^n) \right] \Delta_+ f(v_j^n) + \left[ 1 + \text{sgn}(a_{j-1/2}^n) \right] \Delta_- f(v_j^n) \right\}$$

其中,  $a_{j+1/2}^n (v_{j+1}^n - v_j^n) = f(v_{j+1}^n) - f(v_j^n)$ 。

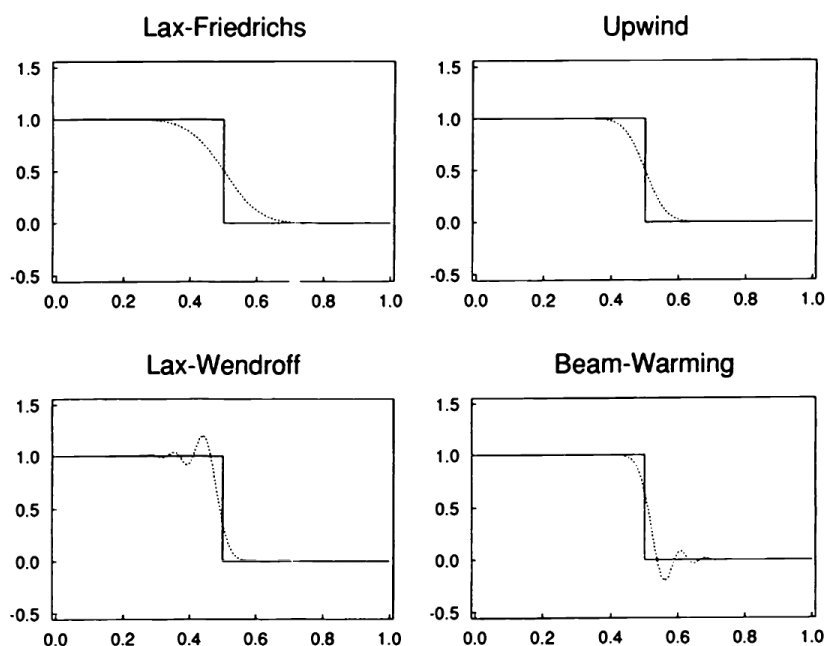
$$\begin{aligned} \hat{f}_{j+1/2}^n = & \begin{cases} f(v_j^n), & a_{j+1/2}^n \geq 0 \\ f(v_{j+1}^n), & a_{j+1/2}^n < 0 \end{cases} \\ = & \frac{1}{2} [f(v_j^n) + f(v_{j+1}^n)] - \frac{1}{2} \text{sgn}(a_{j+1/2}^n) [f(v_{j+1}^n) - f(v_j^n)] \end{aligned}$$

- 例：Burgers 方程的 Riemann 问题:  $u_- = -1, u_+ = 1$

使用 Roe 型迎风格式。

守恒型格式的解收敛到某个弱解, 但不是熵解!

- 例：线性方程  $u_t + u_x = 0$  的 Riemann 问题：  $u_- = 1, u_+ = 0$   
守恒型格式的解可能产生数值震荡！



## 3.2 单调格式

- 方程满足单调保持性质：若初值是单增或单减函数，则任意时刻的熵解保持相同的单调性。
- 定义（单调保持格式）：若初值是单调函数，则任意时刻的数值解均具有相同的单调性。  
通常难以验证！
- 方程满足性质：

$$v(x,0) \leq u(x,0), \forall x \Rightarrow v(x,t) \leq u(x,t), \forall x, \forall t > 0$$

- 定义（单调格式）：称数值格式是守恒型格式，若它可以统一表述为

$$v_j^{n+1} = H(v_{j-r}^n, \dots, v_{j+s}^n), \quad \forall j \quad (3)$$

是单调格式，如果函数  $H$  关于每个变元是非减的。

- **定理：**考虑三点格式

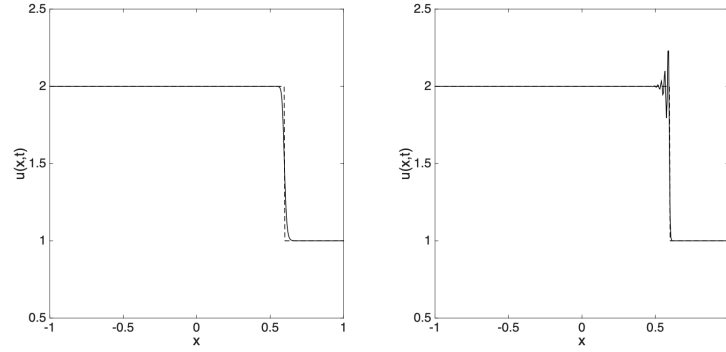
$$v_j^{n+1} = v_j^n - \frac{\Delta t}{\Delta x} \left( \hat{f}_{j+1/2}^n - \hat{f}_{j-1/2}^n \right), \quad \hat{f}_{j+1/2}^n = \hat{f}(u_j^n, u_{j+1}^n),$$

若导数满足关系

$$\hat{f}_1 \geq 0, \quad \hat{f}_2 \leq 0, \quad \frac{\Delta t}{\Delta x} (\hat{f}_1 - \hat{f}_2) \leq 1$$

则该三点格式是单调格式的。

- **例：**在相应的 CFL 条件下，Roe 型迎风格式不是单调格式。
- **例：**在相应的 CFL 条件下，Lax-Friedrichs 格式是单调格式；但是 Lax-Wendroff 格式不是单调格式。  
Lax-Friedrichs 格式的解在激波附近产生过渡点，但是 Lax-Wendroff 格式产生数值震荡！



**Figure 4.2.** The solution at  $T = 0.2$  of Burgers' equation, solved using a scheme in conservation form with a Lax-Friedrichs numerical flux (left) and a Lax-Wendroff numerical flux (right). In both cases, the computed solution (solid line) and the exact solution (dashed line) is shown.

- **定理：**单调格式的数值解一致有界，必然收敛到双曲守恒律的熵解。
- **定理 (Godunov 定理)：**单调格式最多只有一阶局部截断误差。
- **定理：**单调格式必然是单调保持格式。

### 3.3 TVD 格式

- **定义 (全变差, total variation)：**

– 连续函数：  $TV(v) = \lim_{\epsilon \rightarrow 0} \sup \frac{1}{\epsilon} \int_{-\infty}^{\infty} |v(x) - v(x - \epsilon)| dx = \int_{-\infty}^{\infty} |v'(x)| dx$

– 网格函数:  $TV(w) = \sum_j |w_{j+1} - w_j|$

- 方程满足性质: 全变差不增

$$TV(u(x, t_2)) \leq TV(u(x, t_1)), \quad \forall t_2 > t_1$$

- **定义 (TVD 格式):** 称数值格式是全变差不增的, 若它的数值解恒满足

$$TV(v^{n+1}) \leq TV(v^n), \quad \forall n$$

- Harten **定理:** 设数值格式具有增量形式

$$v_j^{n+1} = v_j^n - C_{j-1/2} (v_j^n - v_{j-1}^n) + D_{j+1/2} (v_{j+1}^n - v_j^n),$$

且处处成立

$$C_{j+1/2} \geq 0, \quad D_{j+1/2} \geq 0, \quad C_{j+1/2} + D_{j+1/2} \leq 1$$

则它是 TVD 的。

- **例:** 在相应的 CFL 条件下, Roe 型迎风格式是 TVD 的。  
注: TVD 格式可以避免剧烈的数值震荡, 但数值解有可能收敛到非熵解的弱解, 可以引入“熵修正”技术。
- **定理:** 单调格式是 TVD 的, TVD 格式是单调保持格式。  
注: 逆命题不成立!
- **定理:** 局限于线性差分格式的范畴, 单调格式、TVD 格式和单调保持格式是彼此等价的。进而, 线性 TVD 格式至多有一阶局部截断误差。
- **定理:** 高阶 TVD 格式必然是非线性的, 即使离散对象是线性双曲守恒律。

Homework: 针对非线性方程  $u_t + f(u)_x = 0$ , 利用“流通分裂技术”构造数值算法:

$$u_t + f^+(u)_x + f^-(u)_x = 0, \quad f^\pm(u) = \frac{1}{2} (f(u) \pm \alpha u)$$

其中,  $\alpha = \max_u |f'(u)|$ 。对  $f^\pm(u)$  分别使用迎风格式

$$v_j^{n+1} = v_j^n - \frac{\Delta t}{\Delta x} (f^+(v_j^n) - f^+(v_{j-1}^n)) - \frac{\Delta t}{\Delta x} (f^-(v_{j+1}^n) - f^-(v_j^n))$$

试判断格式是否为守恒型格式, 并分析其单调性质和 TVD 性质。

## 4 双曲型方程组

- 定义 (双曲型常系数线性方程组):  $\vec{u}(x, t) = (u_1, u_2, \dots, u_m)^T$  是未知的  $m$  维向量值函数, 常系数线性方程组

$$\vec{u}_t + A\vec{u}_x = 0, \quad A \in \mathbb{R}^{m \times m}$$

称为双曲型, 若  $A$  的特征值  $\{\lambda_i, i = 1, \dots, m\}$  都是实数, 对应的特征向量  $\{\vec{r}_i, i = 1, \dots, m\}$  线性无关。

- 特征分解

- 矩阵  $A$  可进行特征分解:  $A = R\Lambda R^{-1}$

- 方程组映射至特征空间:  $\vec{v} = R^{-1}\vec{u}$

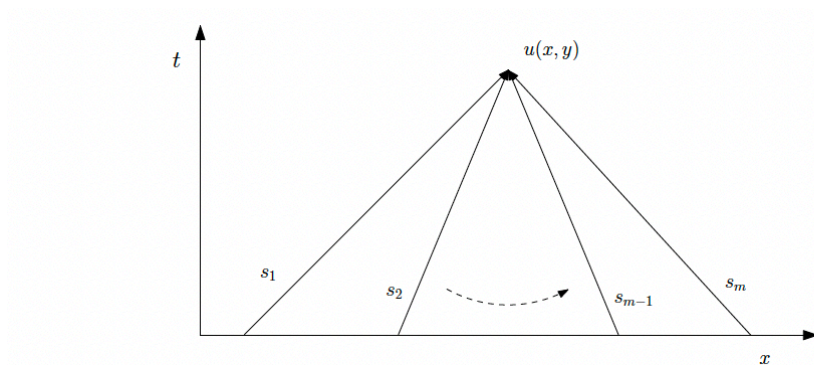
$$\vec{v}_t + \Lambda\vec{v}_x = 0$$

或

$$(v_p)_t + \lambda_p(v_p)_x = 0 \quad \Rightarrow \quad v_p(x, t) = v_p(x - \lambda_p t, 0)$$

- 映射回物理空间

$$\vec{u}(x, t) = R\vec{v}(x, t) = \sum_{p=1}^m v_p(x, t)\vec{r}_p(x, t)$$



**Figure 3.1.** Construction of the solution  $u(x, t)$  as the superposition of  $m$  linear waves, assuming an ordering of  $\lambda_1 \geq \lambda_2 \geq \dots \geq 0 \geq \dots \geq \lambda_m$ . The domain of dependence is contained within the cone defined by  $\lambda_1$  and  $\lambda_m$ .

- 例: Riemann 问题: 对应的准确解为分片常数。

$$\vec{u}(x, 0) = \begin{cases} \vec{u}_l = \sum_{p=1}^m \alpha_p \vec{r}_p, & x < 0, \\ \vec{u}_r = \sum_{p=1}^m \beta_p \vec{r}_p, & x > 0. \end{cases}$$

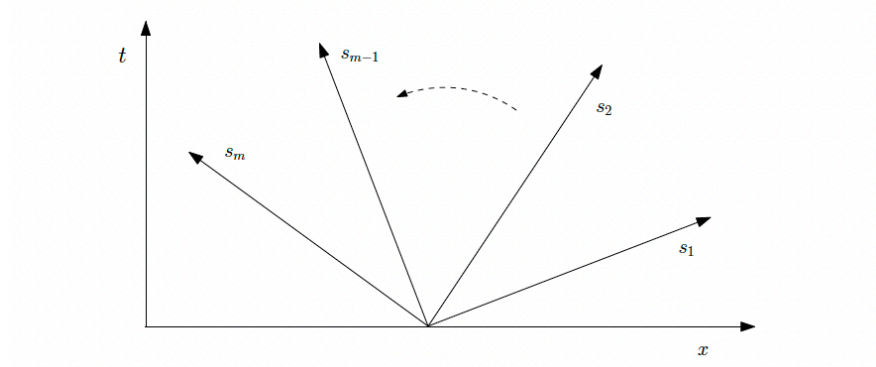
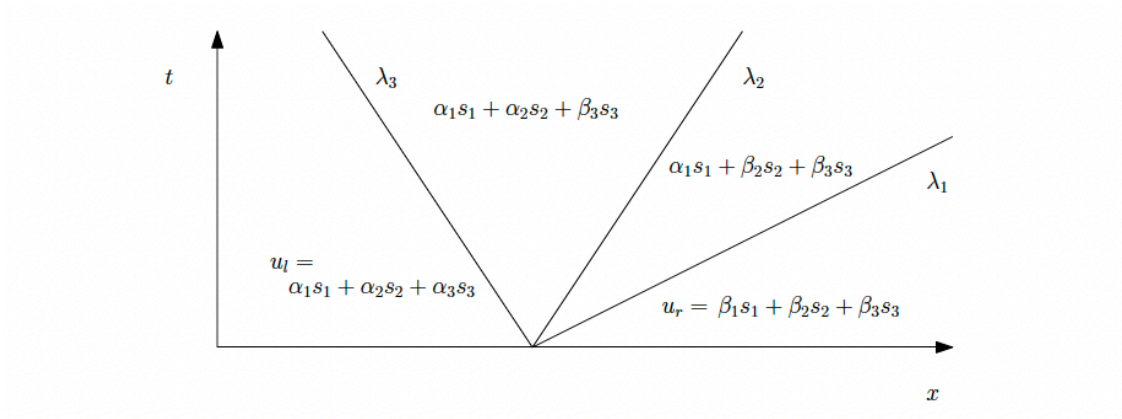


Figure 3.2. Development of the solution  $u(x, t)$  for a system with  $m$  linear waves. We have assumed an ordering of  $\lambda_1 \geq \lambda_2 \geq \dots \geq 0 \geq \dots \geq \lambda_m$ . The domain of influence is contained within the cone defined by  $\lambda_m$  and  $\lambda_1$ .



• 例：迎风格式

- 矩阵  $A$  可进行特征分解：  $A = R\Lambda R^{-1}$
- 方程组进行至特征空间：  $\vec{v} = R^{-1}\vec{u}$

$$\vec{v}_t + \Lambda \vec{v}_x = 0$$

- 方程组  $\vec{v}$  的迎风格式：  $\Lambda_+ = \text{diag}(\max(\lambda_i, 0))$ ,  $\Lambda_- = \text{diag}(\min(\lambda_i, 0))$

$$\vec{v}_j^{n+1} = \vec{v}_j^n - \frac{\Delta t}{\Delta x} \Lambda_+ (\vec{v}_j^n - \vec{v}_{j-1}^n) - \frac{\Delta t}{\Delta x} \Lambda_- (\vec{v}_{j+1}^n - \vec{v}_j^n)$$

- 方程组  $\vec{u}$  的迎风格式：  $A_- = R\Lambda_- R^{-1}$ ,  $A_+ = R\Lambda_+ R^{-1}$

$$\vec{u}_j^{n+1} = \vec{u}_j^n - \frac{\Delta t}{\Delta x} A_+ (\vec{u}_j^n - \vec{u}_{j-1}^n) - \frac{\Delta t}{\Delta x} A_- (\vec{u}_{j+1}^n - \vec{u}_j^n)$$

– 注：格式蕴涵了“流通分裂技术”的基本思想，即

$$A\vec{u} = \vec{f}(\vec{u}) = \vec{f}^+(\vec{u}) + \vec{f}^-(\vec{u}) = A_+\vec{u} + A_-\vec{u}$$

- **定义（双曲型守恒律方程组）：**  $\vec{u}(x,t) = (u_1, u_2, \dots, u_m)^T$  是未知的  $m$  维向量值函数，非线性方程组

$$\vec{u}_t + \vec{f}(\vec{u})_x = 0,$$

称为（严格）双曲型，若矩阵  $A(\vec{u}) = \vec{f}'(\vec{u}) \in \mathbb{R}^{m \times m}$  的特征值  $\{\lambda_i(\vec{u}), i = 1, \dots, m\}$  都是（互异）实数，对应的特征向量  $\{\vec{r}_i(\vec{u}), i = 1, \dots, m\}$  线性无关。

- **例：**Euler 方程：Riemann 问题准确解包括了激波、稀疏波和接触间断。

$$\begin{pmatrix} \rho \\ \rho u \\ E \end{pmatrix}_t + \begin{pmatrix} \rho u \\ \rho u^2 + p \\ u(E + p) \end{pmatrix}_x = \vec{0}$$

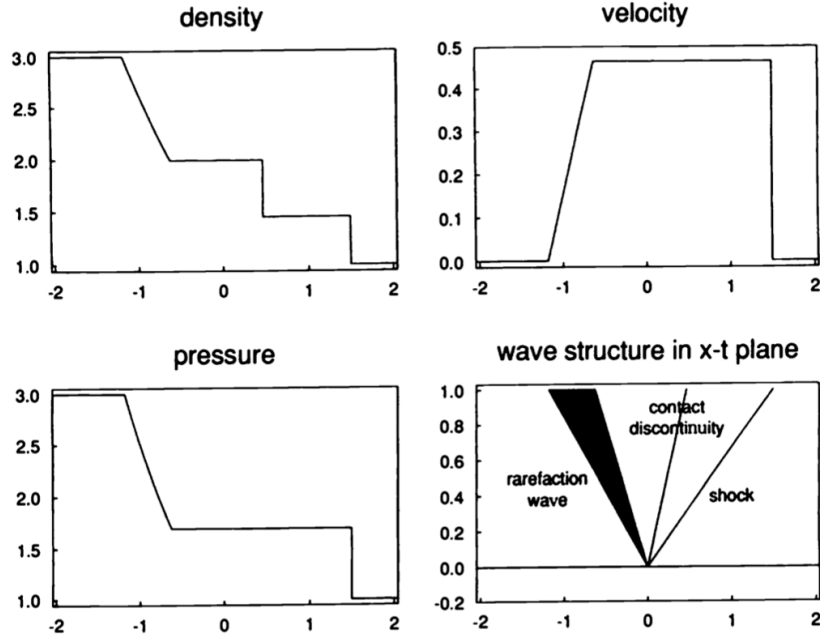


Figure 1.1. Solution to a shock tube problem for the one-dimensional Euler equations.

- **守恒型数值格式：**

$$\vec{v}_j^{n+1} = \vec{v}_j^n - \frac{\Delta t}{\Delta x} \left( \hat{f}_{j+1/2}^n - \hat{f}_{j-1/2}^n \right)$$